

図1 41キロ級セミキルド鋼の $\sqrt{A}/L - \epsilon$ および $\log \sqrt{A}/L - \log \epsilon$ の関係

いて実験し、データ解析を行なうこととした。

すなわち、各試験片とそれが用いられる最大、最小寸法から $\log(\sqrt{A}/L)$ を求めるとき表1のようになる。

表1から $\log(\sqrt{A}/L)$ はほぼ $-0.35 \sim -1.15$ にとればよいことがわかる。また14号試験片はISOで採用している。標準形比例試験片 $L = 5.65\sqrt{A}$ ($L = 5D$)と一致しており、その $\log(\sqrt{A}/L)$ は -0.75 でちょうど中央値にあたっている。このことからデータ解析は $\log(\sqrt{A}/L) = -0.75 \pm 0.4 = -0.35 \sim -1.15$ の範囲*について行なうこととした。

3.2 実験の対象材

JIS鋼材の材質規格の伸び規定値を改正することを直接目的としているので、実験対象材はつぎのとおりとした。

引張強さ 60 kg/mm^2 級以下の熱広鋼板および条鋼種は SS, SM, SB, SMA, SPV および相当材

* $\log(\sqrt{A}/L) = -0.35$ は丸形試験片の $L/D = 2$ に -1.15 は $L/D = 12$ に相当するので、表1以外の他の試験片もほとんどこの範囲内にはいる。

表1 試験片の形状係数 ($\log \sqrt{A}/L$)

試験片 No	試験片 幅 mm	試験片厚さ mm		$\log \sqrt{A}/L$	備考
		最大	最小		
1A号	40 〃	50 —	6 —	-0.65 -1.11	最小
1号	35 60	50 —	6 —	-0.68 -1.02	
5号	25 〃	20 —	0.6 —	-0.35 -1.11	最大
14号	—	—	—	-0.75	中央

対象材の熱処理状態は非調質（圧延まままたは焼ならし）が大部分であるが、 60 kg/mm^2 級は非調質と調質 (SMA58Q をのぞく) の2とおりとした。

なお、SB および SPV 材は材料が入手できなかつた。

3.3 実験方法

さきにも述べたように既存のデータで利用できるものは引用し、さらに各社で共同し実験を行なつた。既存データの実験方法は不明確なものもあり、今回行なつた実験方法と必ずしも同じではない。

今回行なつた実験の試験片の採取寸法および試験片の形状・寸法は概略つきのとおりである。

(1) 棒鋼（丸鋼）

黒皮または同心円削出しによつて丸形試験片を採取。平行部長さは $10d \sim 25d$ (d : 試験片直径)。

(2) 鋼板

丸形試験片は削り出しにより平行部長さは $7d \sim 20d$ 。

平形試験片は黒皮、黒皮削除、減厚削出しにより、また幅/厚を $1 \sim 10$ (板厚がとくに薄いものでは約 30) に変化させた種々の断面をもつた試験片とした。平行部長さは $200 \sim 650 \text{ mm}$ となつてゐる。

これらのすべての試験片それぞれについて、種々の標点距離をけがいて引張試験を行なつた。

引張試験の方法は各社常用の方法により、とくに規制しなかつた。

3.4 データのまとめ方

対象材別に各試験片1本ごとの試験結果を $\log(\sqrt{A}/L) - \log \epsilon$ を座標にプロットし、 $\log(\sqrt{A}/L) = -0.35 \sim -1.15$ の範囲について近似直線 $\log \epsilon = n \log(\sqrt{A}/L) + \log K$ を求め、その n および $\log K$ の平均値を対象材の n および $\log K$ とし OLIVER の式を求めた。

既存のデータの中には数個の試験片による試験結果の平均値がプロットされているものもあるが、その個々の試験片の試験値が不明のためこれも1個の試験結果として処理した。

4. 実験結果

実験結果は表2に示すとおりである。

表2 実験結果

強度レベル	鋼種	形状	試験片形状	伸び値を与える式	N	備考
41 kg/mm ² 級	炭素鋼	棒鋼 鋼板	丸平	$\epsilon = 67 \cdot 58 (\sqrt{A}/L)^{0 \cdot 367}$ $\epsilon = 79 \cdot 14 (\sqrt{A}/L)^{0 \cdot 429}$	10 35	丸形試験片2試料を含む
50 kg/mm ² 級	炭素鋼	棒鋼	丸	$\epsilon = 52 \cdot 17 (\sqrt{A}/L)^{0 \cdot 340}$	11	
	Si-Mn 鋼	鋼板	丸	$\epsilon = 59 \cdot 84 (\sqrt{A}/L)^{0 \cdot 445}$	7	
		〃	平均	$\epsilon = 63 \cdot 34 (\sqrt{A}/L)^{0 \cdot 403}$ $\epsilon = 62 \cdot 33 (\sqrt{A}/L)^{0 \cdot 415}$	18 25	
60 kg/mm ² 級	耐候性低合金鋼	鋼板	丸	$\epsilon = 66 \cdot 00 (\sqrt{A}/L)^{0 \cdot 412}$ $\epsilon = 70 \cdot 21 (\sqrt{A}/L)^{0 \cdot 456}$ $\epsilon = 68 \cdot 17 (\sqrt{A}/L)^{0 \cdot 435}$	32 35 67	
	非調質低合金鋼	鋼板	平	$\epsilon = 57 \cdot 55 (\sqrt{A}/L)^{0 \cdot 457}$	32	丸形試験片2試料を含む
	調質低合金鋼	鋼板	丸 平 平均	$\epsilon = 59 \cdot 88 (\sqrt{A}/L)^{0 \cdot 509}$ $\epsilon = 60 \cdot 12 (\sqrt{A}/L)^{0 \cdot 583}$ $\epsilon = 60 \cdot 03 (\sqrt{A}/L)^{0 \cdot 557}$	45 80 125	

5. 考察

(1) 表2の実験結果から試験片の形状係数 \sqrt{A}/L の指数 n は、非調質鋼の場合ほぼ 0・34~0・46 の範囲にあり、ISO が採用しようとしている 0・4 に近似していることがわかつた。

いま、指数に 0・4 を用いた場合と 0・34 または 0・46 を用いた場合の伸びの差を検討するとつぎのようになる。JIS 旧1号試験片による伸び値を新1A号試験片の伸び値に換算する場合、両試験片の厚さおよび標点距離は同一であるので、両者の伸び値の比は次式のようにあらわすことができる。

$$\frac{\epsilon_1}{\epsilon_{1A}} = \frac{K(\sqrt{A_1}/L)^n}{K(\sqrt{A_{1A}}/L)^n} = \left(\frac{W_1}{W_{1A}} \right)^{1/2-n}$$

ここで $\epsilon_1, \epsilon_{1A}$: 1号および1A号試験片による伸び

A_1, A_{1A} : 1号および1A号試験片の断面積

W_1, W_{1A} : 1号および1A号試験片の幅

上式の n に 0・34, 0・40 または 0・46 を代入し、また W_1, W_{1A} に表3に示す材料の厚さ別の試験片の幅を代入すると表4が得られる。

表4から、1号試験片による伸び値を1A号試験片の伸び値に換算する場合に、指数が 0・40+0・06, -0・06 に変化しても伸びの絶対値はなかなか $\pm 0 \cdot 2\%$ 变化する

表3 1号試験片と1A号試験片の幅

厚さ mm	幅 mm	
	1号 W_1	1A号 W_{1A}
— 9 未満	60	40
9 以上 23 以下	50	40
23 超 35 以下	40	40
35 超 —	35	40

のみで、指数を 0・4 とした OLIVER の式を用いて伸び値を換算して差支えないことが確認された。

なお、調質鋼への適用は ISO も除外しているように適当でなく、今回の実験では 60 kg/mm² 級調質鋼に対しては 0・55 がよいことがわかつた。

(2) ISO で伸び換算表を標準化する目的は、ISO は標準試験片として $L = 5 \cdot 65 \sqrt{A}$ の比例形を採用し、すべて材質規格の伸び値はこの試験片に対し規定する他の比例形あるいは非比例形試験片の伸び値は換算する必要が生じたためである。

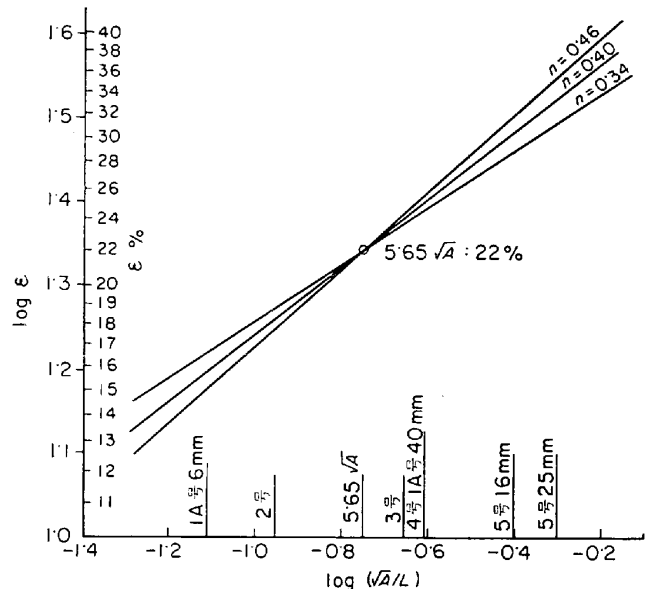
したがつて、 $5 \cdot 65 \sqrt{A}$ の伸び値を基準にして、指数が 0・4 から 0・34 あるいは 0・46 は変化した場合の伸び値は、前記(I)の場合と違つてかなりの差を生ずるが、これも、いまかりに $5 \cdot 65 \sqrt{A}$ 試験片の伸びを 22% と仮

表4 1号と1A号試験片による伸び換算例

厚さ mm	試験片幅 mm			指標別1号と1A号の伸び値の比			1号の伸び値を20%とした場合の1A号の伸び値 %			伸び値の差 %
	1号	1A号	0・34	0・40	0・46	0・34	0・40	0・46	0・34	
9 未満	60	40	1・0714	1・0845	1・0977	18・7	18・4	18・2	+0・3 -0・2	
9 以上 23 以下	50	40	1・0387	1・0457	1・0527	19・2	19・1	19・0	±0・1	

表 5 各種試験片の伸び換算例

試験片	寸法 mm		指数別伸びの比			指数別伸び %			伸びの差 %	
	厚さ	幅	0·34	0·40	0·46	0·34	0·40	0·46	+	-
5·65 \sqrt{A}	—	—	1	1	1	22	22	22	0	0
1 A 号	6	40	0·755	0·719	0·683	16·6	15·8	15·0	0·8	0·8
	16	〃	0·891	0·874	0·855	19·6	19·2	18·8	0·4	0·4
	25	〃	0·962	0·956	0·949	21·2	21·0	20·9	0·2	0·2
5 号	6	25	1·116	1·139	1·160	24·5	25·0	25·5	0·5	0·5
	16	〃	1·319	1·386	1·454	29·0	30·5	32·0	1·5	1·5
	25	〃	1·423	1·516	1·611	31·3	33·4	35·5	2·1	2·1
2 号	—	—	0·852	0·829	0·806	18·7	18·2	17·7	0·5	0·5
3 号	—	—	1·079	1·094	1·108	23·8	24·1	24·4	0·3	0·3
4 号	14 φ	—	1·121	1·145	1·167	24·7	25·2	25·7	0·5	0·5

図 2 $5 \cdot 65 \sqrt{A} : 22\%$ とした場合の各種試験片の伸び

定すると、表 5 および図 2 に示すように 5 号試験片を厚板に使用する特殊な場合をのぞいて、ほぼ $\pm 1\cdot0\%$ の範囲内に入り実用上はさしつかえないと考えられる。

(3) 前記(1)および(2)において OLIVER の式の妥当性が確認され、かつ指数 n は 0·40 として伸び換算が可能なことがわかつた。しかし、実験結果から強度別、鋼種別に個々の指数 n の頻度分布を見ると非常にばらついており、非調質鋼は約 $\pm 0\cdot10$ 、調質鋼は約 $\pm 0\cdot15$ の範囲にわたつてゐる。

すなわち、平均値的には OLIVER の式を用いて伸びの換算が可能であるが、個々の試験片についていえばかなり勾配が異なつておき注意が必要である。これらの原因ははつきりしないが、とくに n が小さいものは $\log K$ も小さく、伸びが低いので端切れの傾向があつたものではないかと想像される。

こんご、材料規格の伸び値が $L = 5 \cdot 65 \sqrt{A}$ の標準試

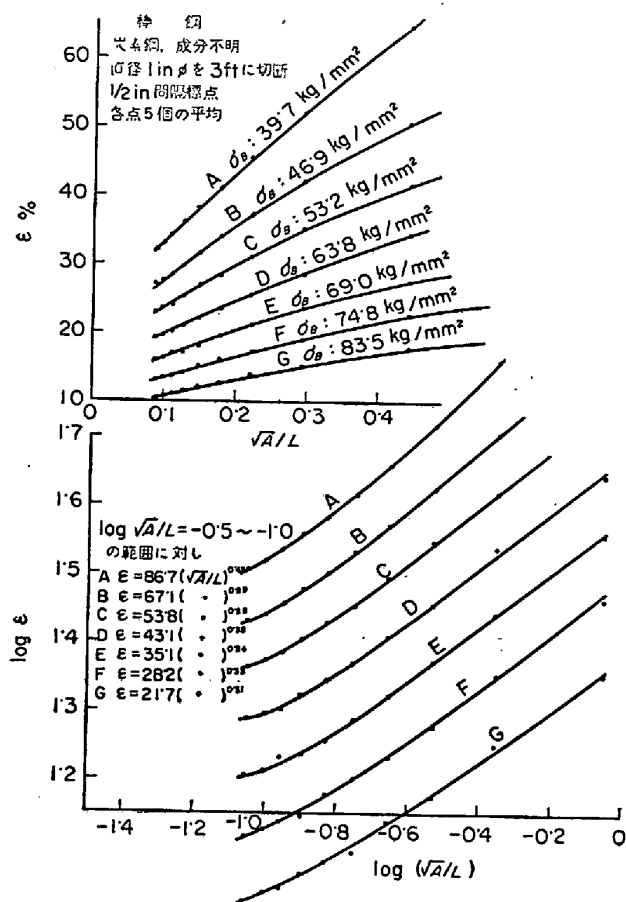
表 6 鋼種別、強度別の n の比較

鋼種	品種・試験片	強度レベル (kg/mm^2)		
		41	50	60
炭素鋼	棒板	0·367 0·428	0·340	
Si-Mn 鋼	板々		0·445 0·403	
耐候性鋼	板々		0·412 0·456	
非調質低合金鋼	板			0·457
調質低合金鋼	板々			0·509 0·583

験片に対してのみ規定され、任意の試験片による伸びを OLIVER の式を用いて $5 \cdot 65 \sqrt{A}$ 試験片の伸びに換算(逆に、規格値を任意の試験片に対する伸びに換算してもよい)して、合否を判定する場合が多くなると思われる。このような場合、指数 n のばらつきが大きいことは換算伸びの信頼度が低いことを意味しており、換算の結果不合格に、あるいは伸びについて疑義が生じたときは標準試験片で再試験するなどの考慮が必要となるであろう。

(4) 鋼種、強度レベルおよび試験片の形状別に指数 n を整理すると表 6 のとおりとなる。

同一鋼種で強度レベルが違う場合の n の傾向は、データが一例しかないのでつきりしないが、炭素鋼棒鋼の 41 kg/mm^2 級と 50 kg/mm^2 級は有意差検定の結果、有意差は認められなかつた。しかし、炭素のみで強度を上げた炭素鋼の他の例では図 3 のように強度レベルが上がるに従つて指数 n は小さくなつてゐる。 n は局部伸びをあらわす因子であり、炭素鋼は強度の上昇とともに局



出所：大正14 八幡製鐵所製品研究所
図3 炭素鋼の強度による $\epsilon - \sqrt{A}/L$ の関係

部伸び、絞りが小さくなるので n は小さくなるものと思われる。

鋼種（同時に強度レベルも異なつてくるが）について見ると、炭素鋼よりも低合金鋼の指数が大となつてている（炭素鋼、板-中と耐候性鋼、板-中間は1%水準で有意差あり）。これは低合金鋼は局部収縮を起こしやすく、そのため指数が大となつたものと考えられる。また調質鋼は同一強度レベルの非調質鋼にくらべて明らかに差があり、指数も大となつている。

したがつて、今後 OLIVER 式の適用の拡大にあたつては、成分系強度レベル、熱処理状態などを考慮して指數を検討する必要があることがうかがわれる。

(5) 丸形試験片と平形試験片では指數に差があることがわかつた。前記表6において、Si-Mn鋼は試料数Nが少くとも差が認められないが、炭素鋼、耐候性鋼調質低合金鋼はいずれも丸形と平形の間に1%水準で有意差があり、平形のほうが大きくなつてゐる。

(6) OLIVER の式は前記(1)(2)のようにわれわれが使用する範囲については、実用上問題がないことが確かめられた。しかし、OLIVERの式でも範囲を広くとると必ずしも直線で表わすのは適当でなく、1つの折点で連続した2つの直線であらわしたほうがより適切である。

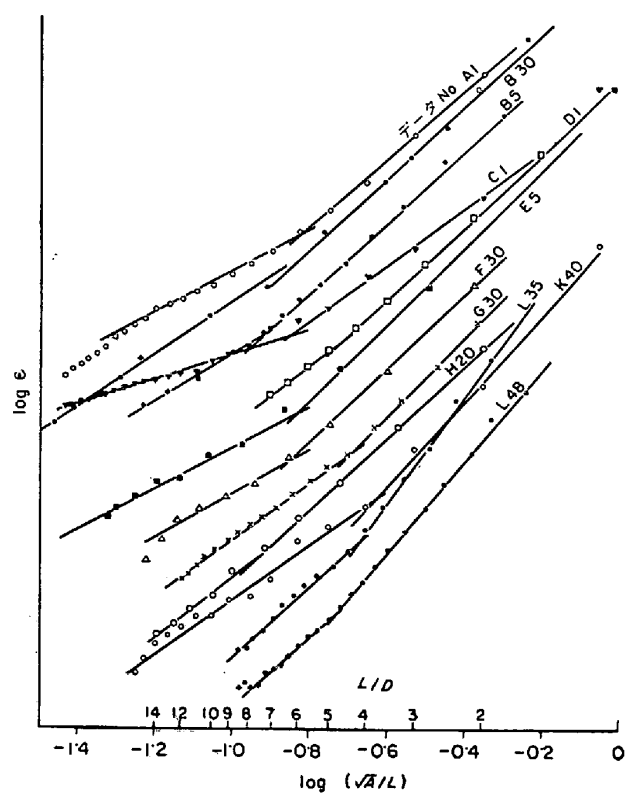
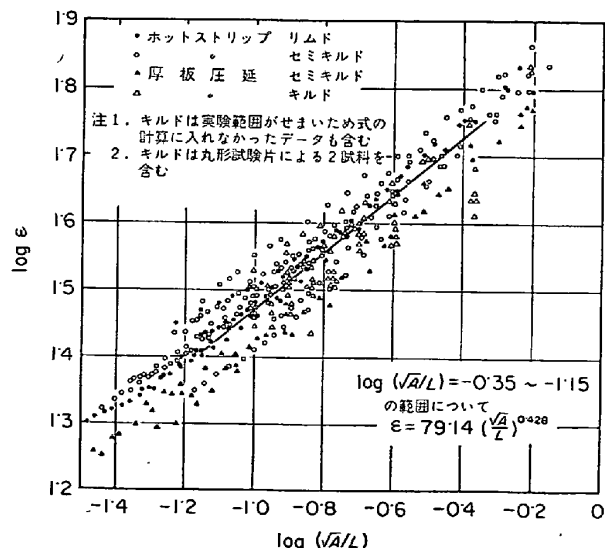


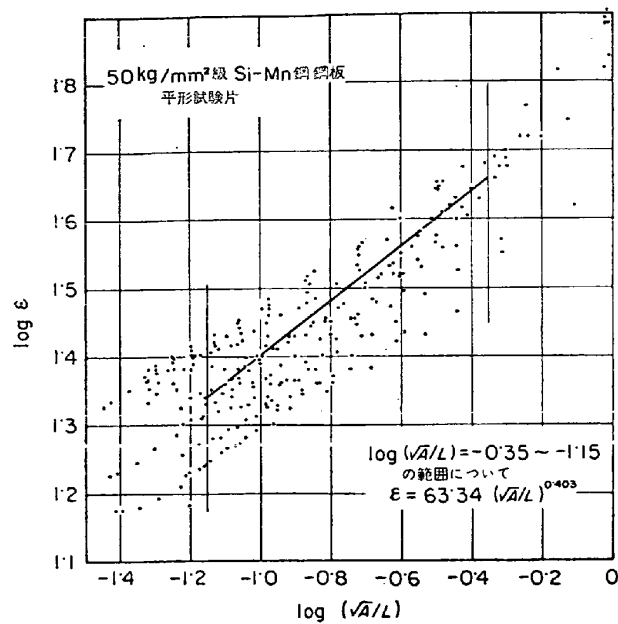
図4 各鋼種の $\log (\sqrt{A}/L)$ と $\log \epsilon$ その関係

図4に数例を示す。折点の位置は $\log (\sqrt{A}/L) = -0.6 \sim -0.9$ の範囲に見られるが鋼種別の傾向はこの図からはうかがわれない。

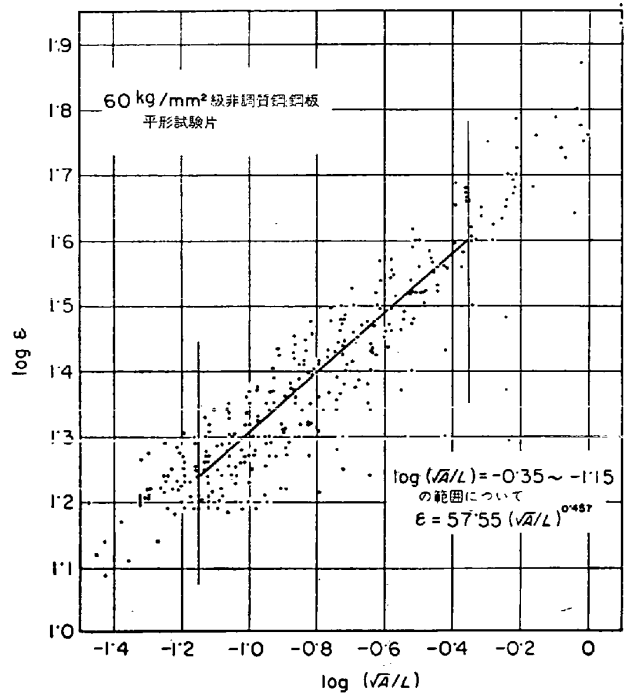
しかし、 $\log (\sqrt{A}/L) = -0.35 \sim -1.15$ の範囲については、ほぼ直線と見なして差支えない。 $\log (\sqrt{A}/L) = -0.35$ は5号試験片を厚板に使用する場合の、いわば変則的な使いかたまでを考慮してきめた値であり、これを対象外とすれば4号試験片 ($L = 4\sqrt{A} = 3.54D$, $\log (\sqrt{A}/L) = -0.602$) までを考えればよい。



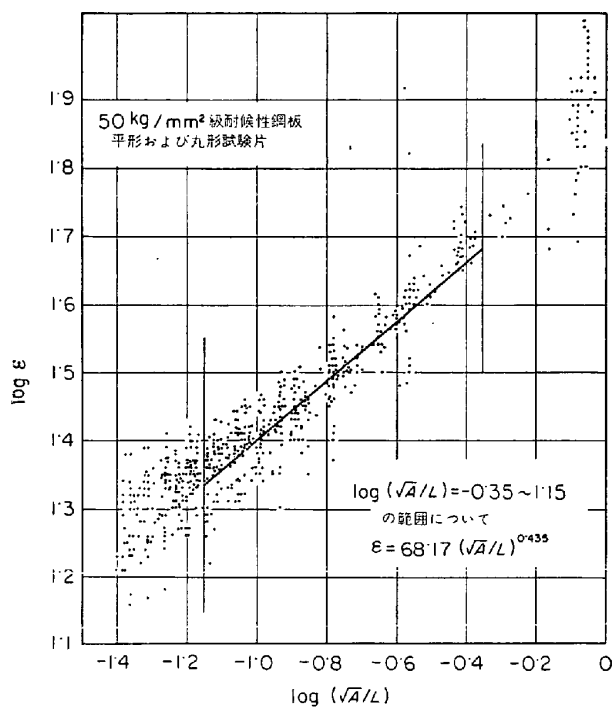
付図1 41 kg/mm² 級炭素鋼鋼板の $\log (\sqrt{A}/L)$ と $\log \epsilon$ の関係



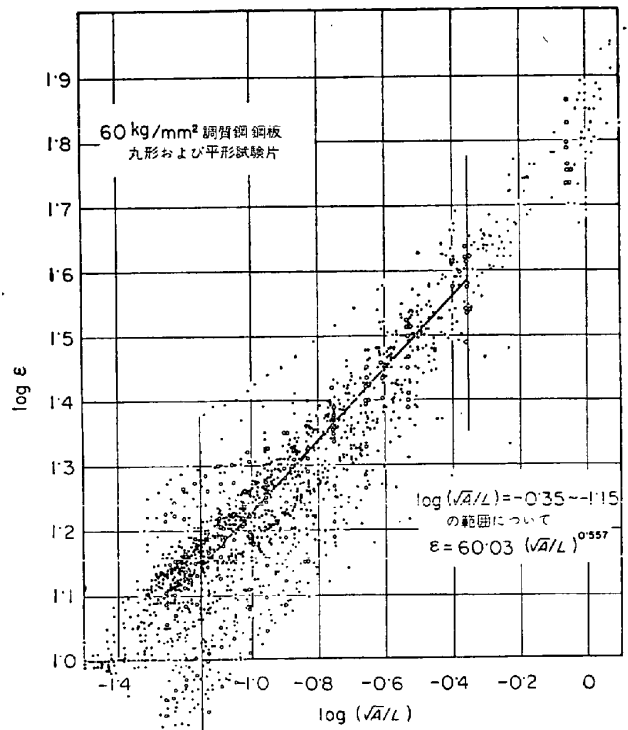
付図 2 50 kg / mm² 級 Si-Mn 鋼鋼板の $\log (\sqrt{A}/L)$ と $\log \epsilon$ の関係



付図 4 60 kg / mm² 級非調質鋼鋼板の $\log (\sqrt{A}/L)$ と $\log \epsilon$ の関係



付図 3 50 kg / mm² 級耐候性鋼板の $\log (\sqrt{A}/L)$ と $\log \epsilon$ の関係



付図 5 60 kg / mm² 級調質鋼鋼板の $\log (\sqrt{A}/L)$ と $\log \epsilon$ の関係

$\log(\sqrt{A}/L) = -0.60 \sim -1.15$ の範囲にとれば、直線性はよくなり、OLIVERの式はより有用なものとして使用できることになる。ただし、この場合指数nの値は小さくなる。

6. まとめ

まとめ引張試験片の寸法と伸びの関係について、一部既存のデータを利用するとともに多数の実験を行なつた結果つぎのことがわかつた。

(1) OLIVERの式 $\epsilon = K(\sqrt{A}/L)^{0.4}$ は引張強さ 60 kg/mm² 級以下の非調質熱間圧延鋼材について \log

$(\sqrt{A}/L) = -0.35 \sim -1.15$ の範囲では、よく適合することがわかつた。指数は鋼種によつて 0.34~0.46 と変化するが、0.40 として伸びの換算を行なつても誤差は小さく実用上問題ない。

(2) OLIVERの式において指数は 0.34~0.46 と変化しているが、炭素鋼から Si-Mn 鋼、低合金鋼となるに従つて大となつているが、これは成分系の違いによる局部収縮の影響と考えられる。

(3) 60 kg/mm² 級調質鋼は OLIVERの式において指数を 0.55 とした $\epsilon = K(\sqrt{A}/L)^{0.55}$ がよく適合する。